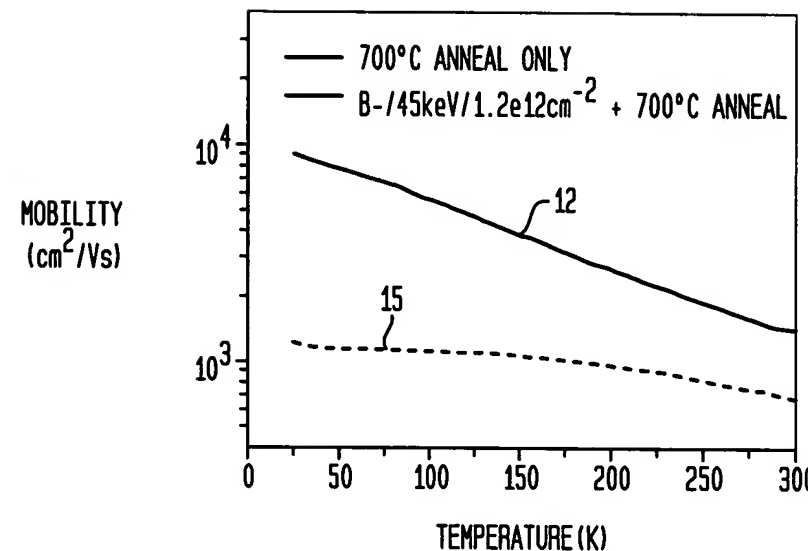




1/10
J.O. CHU, et al.
Y0920030372US1 (RMT)

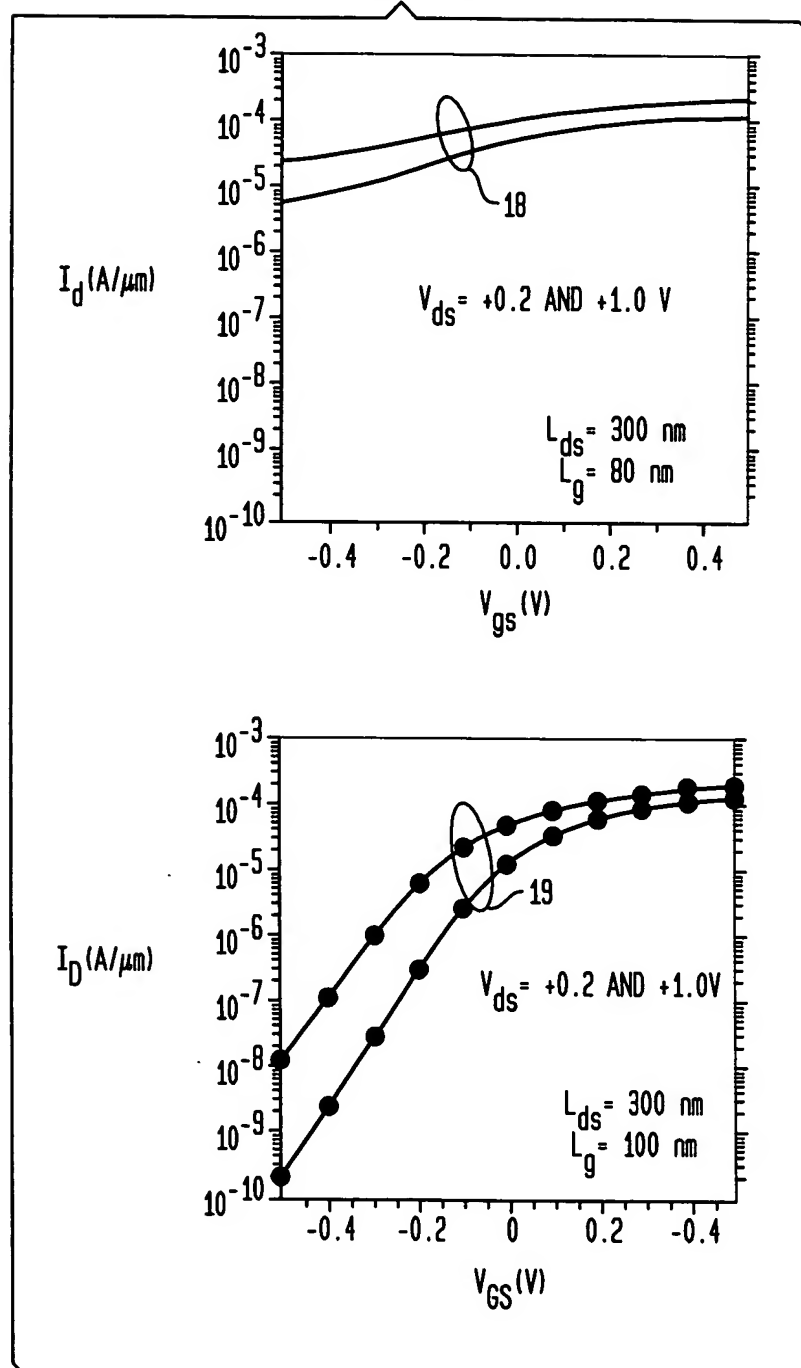
FIG. 1A





2/10
Y0R920030372US1

FIG. 1B





3/10
Y0R920030372US1

FIG. 2

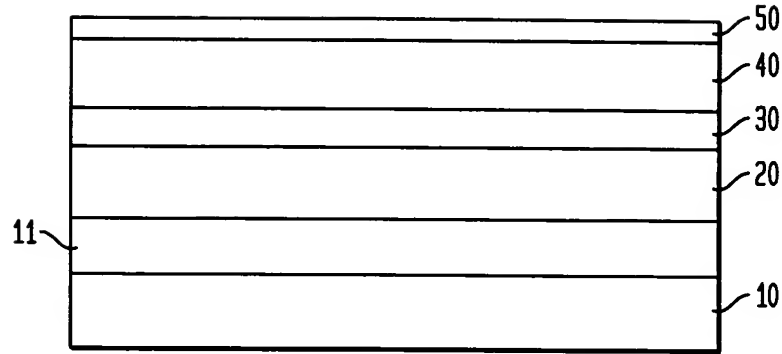
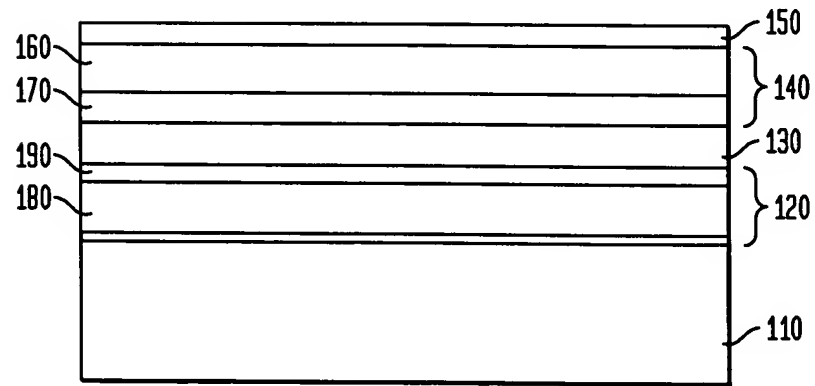


FIG. 3





4/10
Y0R920030372US1

FIG. 4

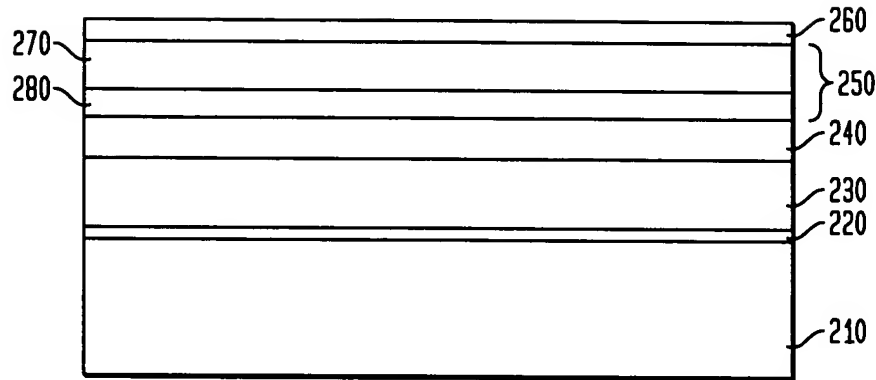
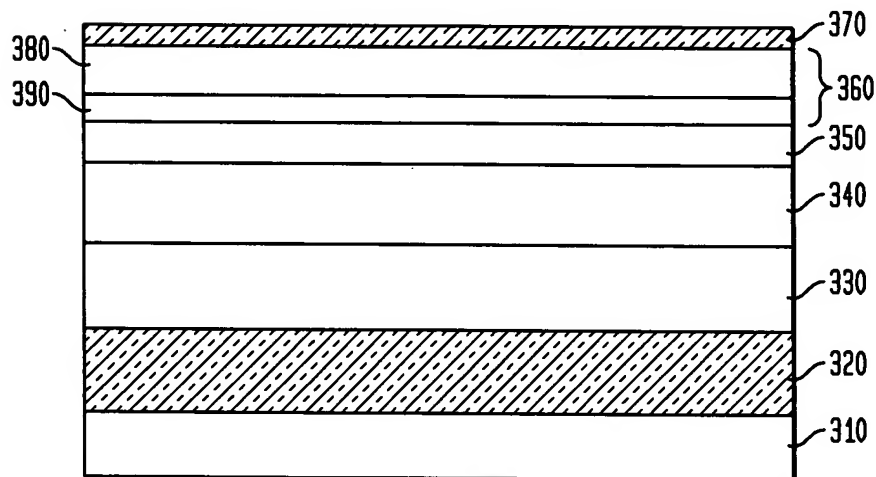


FIG. 5





5/10
Y0R920030372US1

FIG. 6

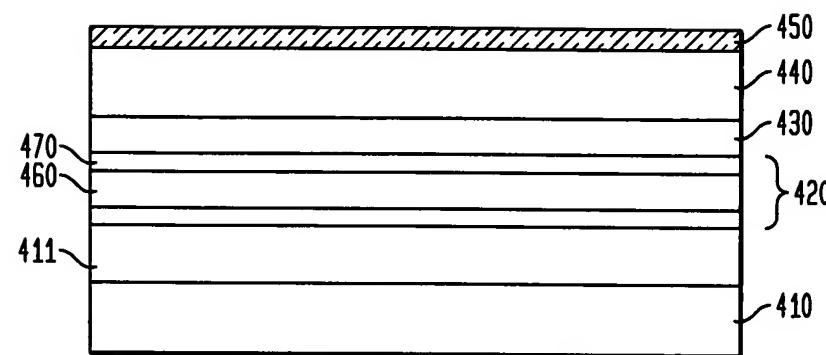
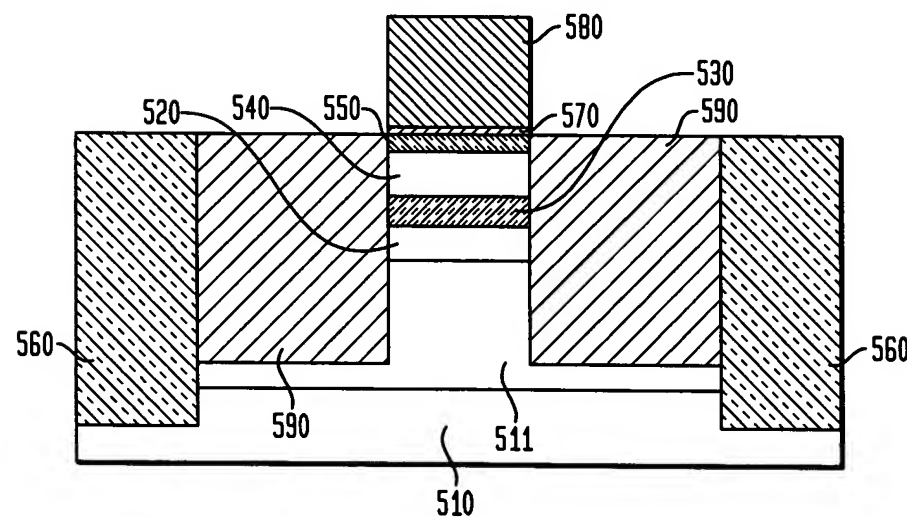


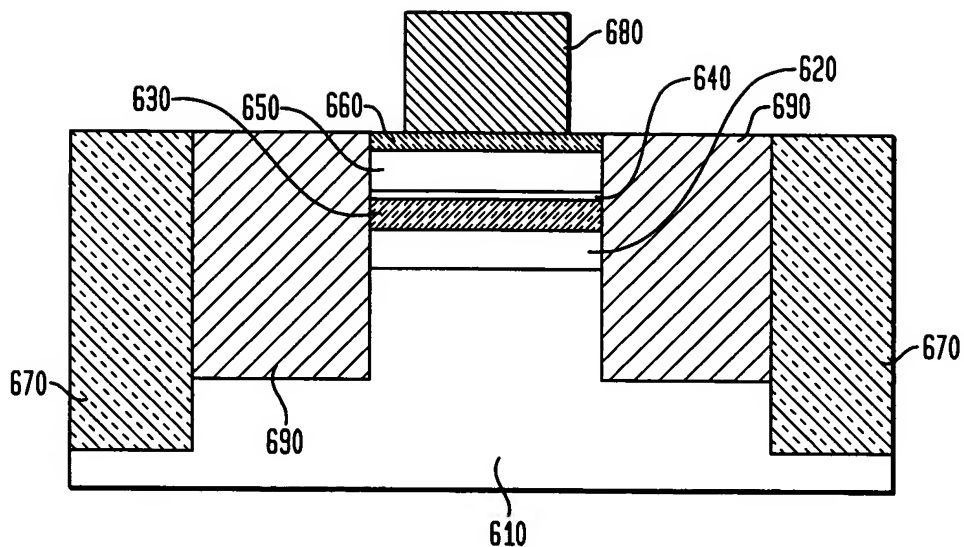
FIG. 7





6/10
Y0R920030372US1

FIG. 8





7/10
Y0R920030372US1

FIG. 9A



FIG. 9B

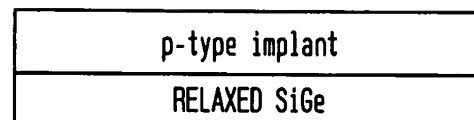


FIG. 9C

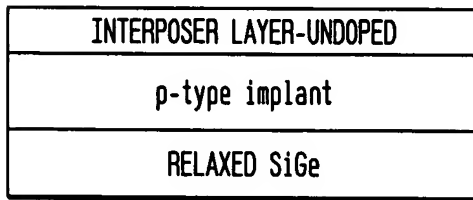
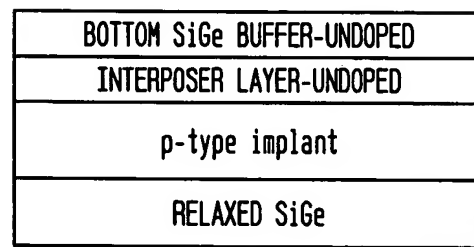


FIG. 9D





8/10
Y0R920030372US1

FIG. 9E

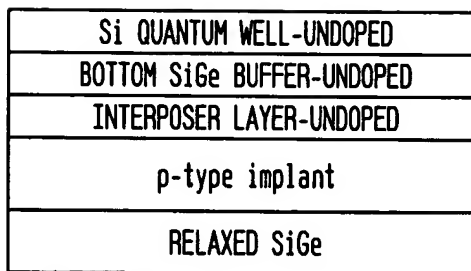


FIG. 9F

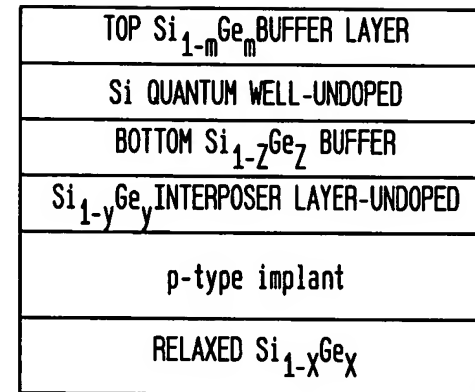
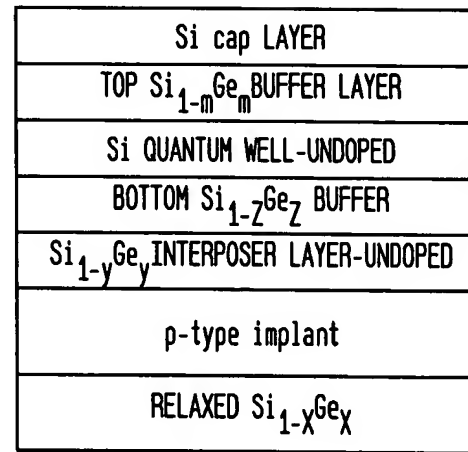


FIG. 9G





9/10
Y0R920030372US1

FIG. 10A

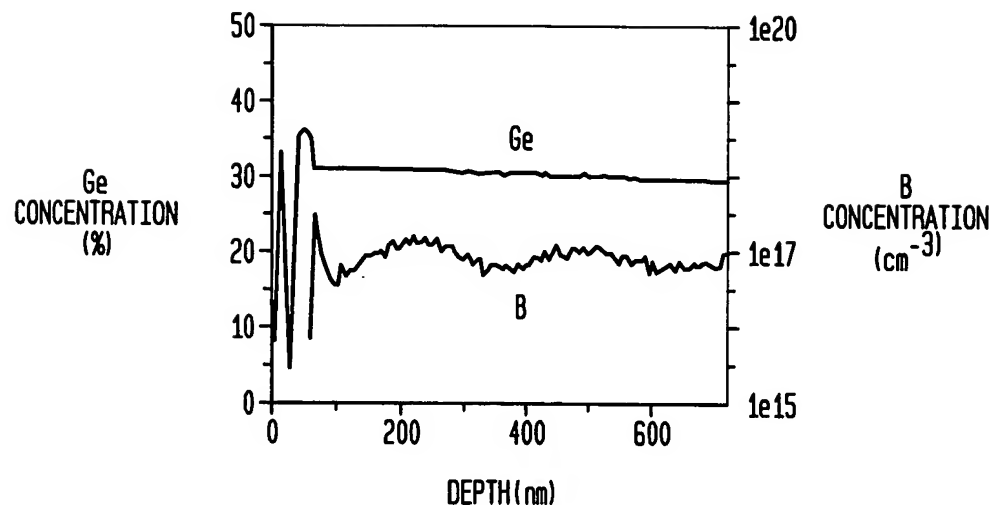
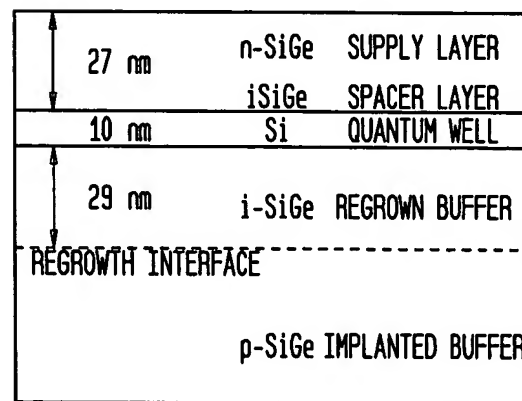


FIG. 10B





10/10
Y0R920030372US1

FIG. 10C

